

Лабораторная работа 3.2.4+3.2.5

Свободные и вынужденные колебания в электрическом контуре

Пискунова Ольга Б06-205

27 февраля 2024 г.

Цель работы: Исследование свободных и вынужденных колебаний в колебательном контуре.

В работе используются: Осциллограф АКТАКОМ ADS-6142Н, генератор сигналов специальной формы АКИП-3409/4, магазин сопротивления МСР-60, магазин емкости Р5025, магазин индуктивности Р567 типа МИСП, соединительная коробка с шунтирующей емкостью, соединительные одножильные и коаксиальные провода.

Задачи:

1. Изучение свободных колебаний в RLC контуре:

- Сравнить зависимость периода колебаний цепи от ёмкости с теоретической.
- Определение зависимости логарифмического декремента затухания от сопротивления цепи.
- Определение критического сопротивления контура.

2. Изучение вынужденных колебаний в RLC контуре:

- Построение резонансных кривых колебательного контура: АЧХ и ФЧХ.
- Определение декремента затухания колебательного контура по нарастанию колебаний и по их затуханию.
- Проанализировать картину биений.

3. Определение добротности контура различными способами.

1. Введение

Свободные колебания – колебания, происходящие за счёт энергии заранее запасённой в системе (в процессе колебаний энергия в систему не попадает). Обозначим как $\gamma = \frac{R}{2L}$ – коэффициент затухания, тогда возникает классификация «режимов» колебаний в контуре:

1. Затухающие ($0 < \gamma < \omega_0$).
2. Критический режим ($\gamma = \omega_0$).
3. Аперриодический режим ($\gamma > \omega_0$).

Критическое сопротивление – сопротивление цепи, при котором происходит переход на аперриодический режим *Вынужденные колебания* – колебания, происходящие за счёт действия периодической внешней силы. В данной работе мы будем изучать различные свойства и параметры как свободных, так и вынужденных колебаний в RLC контуре.

Экспериментальная установка

Колебательный контур состоит из постоянной индуктивности L с активным сопротивлением RL , переменной емкости C и сопротивления R . Картина колебаний напряжения на емкости наблюдается на экране двухканального осциллографа. Для возбуждения затухающих колебаний используется генератор сигналов специальной формы. Сигнал с генератора поступает через конденсатор C_1 на вход колебательного контура. Данная емкость необходима чтобы выходной импеданс генератора был много меньше импеданса колебательного контура и не влиял на процессы, проходящие в контуре.

Установка предназначена для исследования не только возбужденных, но и свободных колебаний в электрической цепи. При изучении свободно затухающих колебаний генератор специальных сигналов на вход колебательного контура подает периодические короткие импульсы, которые заряжают конденсатор C . За время между последовательными импульсами происходит разрядка конденсатора через резистор и катушку индуктивности.

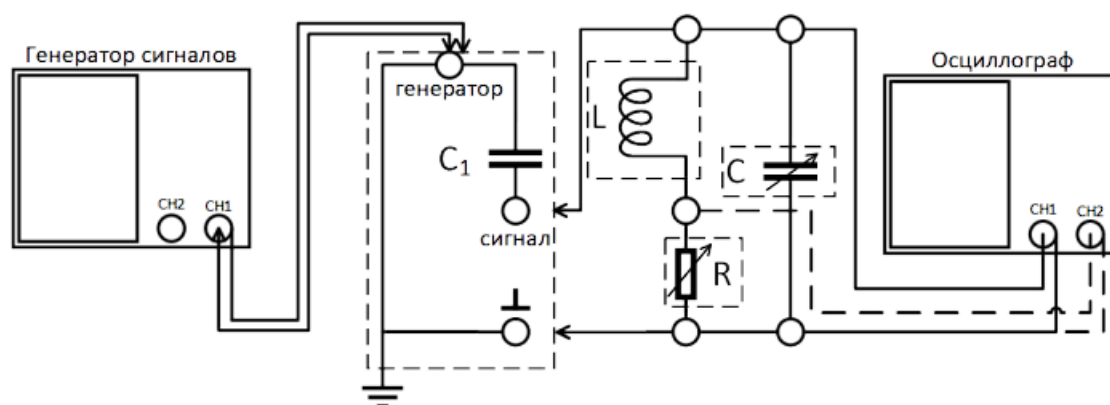


Рис. 1: Схема установки для исследования вынужденных колебаний

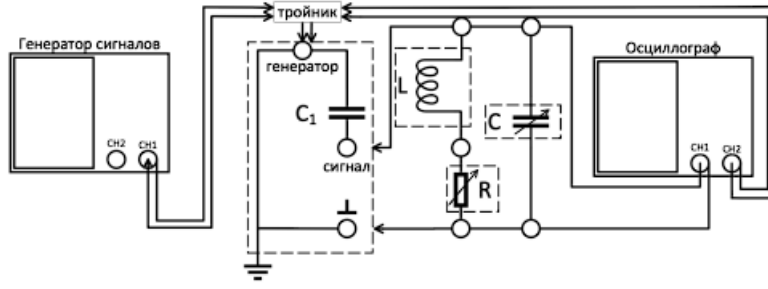


Рис. 2: Схема установки для исследования АЧХ и ФЧХ

2. Теоретическая часть

Для RLC контура (рис. 1) применим 2 правило Кирхгофа:

$$RI + U_C + L \frac{dI}{dt} = 0. \quad (1)$$

Подставив в уравнение (1) выражение для тока через 1-ое правило Кирхгофа, и разделив обе части уравнения на CL , получим:

$$\frac{d^2 U_C}{dt^2} + \frac{R}{L} \frac{dU_C}{dt} + \frac{U_C}{CL} = 0. \quad (2)$$

Произведём замены $\gamma = \frac{R}{2L}$ – коэффициент затухания, $\omega_0^2 = \frac{1}{LC}$ – собственная круговая частота, $T_0 = \frac{2\pi}{\omega_0} = 2\pi\sqrt{LC}$ – период собственных колебаний. Тогда уравнение (2) примет вид:

$$\ddot{U}_C + 2\gamma\dot{U}_C + \omega_0^2 U_C = 0, \quad (3)$$

где точкой обозначено дифференцирование по времени. Будем искать решение данного дифференциального уравнения в классе функций следующего вида:

$$U_C(t) = U(t)e^{-\gamma t}.$$

Получим:

$$\ddot{U} + \omega_1^2 U = 0, \quad (4)$$

где

$$\omega_1^2 = \omega_0^2 - \gamma^2 \quad (5)$$

Для случая затухания $\gamma < \omega_0$ в силу того, что $\omega_1 > 0$, получим:

$$U_C(t) = U_0 \cdot e^{-\gamma t} \cos(\omega_1 t + \varphi_0). \quad (6)$$

Для получения фазовой траектории представим формулу (6) в другом виде:

$$U_C(t) = e^{-\gamma t} (a \cos \omega_1 t + b \sin \omega_1 t), \quad (7)$$

где a и b получаются по формулам:

$$a = U_0 \cos \varphi_0, \quad b = -U_0 \sin \varphi_0.$$

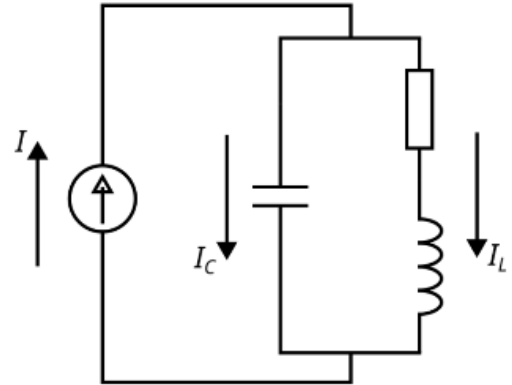


Рис. 1. Описываемый RLC контур

В более удобном виде запишем выражения для напряжения на конденсаторе и токе через катушку:

$$U_C(t) = U_{C0} \cdot e^{-\gamma t} (\cos \omega_1 t + \frac{\gamma}{\omega_1} \sin \omega_1 t), \quad (8)$$

$$I(t) = C \dot{U}_C = -\frac{U_{C0}}{\rho} \frac{\omega_0}{\omega_1} e^{-\gamma t} \sin \omega_1 t. \quad (9)$$

Введём некоторые характеристики колебательного движения:

$$\tau = \frac{1}{\gamma} = \frac{2L}{R}, \quad (10)$$

где τ – время затухания (время, за которое амплитуда колебаний уменьшается в e раз).

$$\Theta = \ln \frac{U_k}{U_{k+1}} = \gamma T_1 = \frac{1}{N_\tau} = \frac{1}{n} \ln \frac{U_k}{U_{k+n}}, \quad (11)$$

где Θ – логарифмический декремент затухания, U_k и U_{k+1} – два последовательных максимальных отклонения величины в одну сторону, N_τ – число полных колебаний за время затухания τ .

Теперь рассмотрим случай *вынужденных колебаний* под действием внешней внешнего синусоидального источника. Для этого воспользуемся методом *комплексных амплитуд* для схемы на рисунке (рис. 1):

$$\ddot{I} + 2\gamma \dot{I} + \omega^2 I = -\varepsilon \frac{\Omega}{L} e^{i\Omega t}. \quad (12)$$

Решая данное дифференциальное уравнение получим решение:

$$I = B \cdot e^{-\gamma t} \sin(\omega t - \Theta) + \frac{\varepsilon_0 \Omega}{L \phi_0} \sin(\Omega t - \varphi). \quad (13)$$

Нетрудно видеть, что частота резонанса будет определяться формулой:

$$\omega_0 = \frac{1}{2\pi \sqrt{LC}}. \quad (14)$$

Способы измерения **добротности**:

1. с помощью потери амплитуды свободных колебаний:

$$Q = \frac{1}{n} \ln \frac{U_k}{U_{k+n}}, \quad (15)$$

2. с помощью амплитуды резонанса можно получить добротность (в координатах U_C/U_0 , где U_0 – амплитуда колебаний напряжения источника, от частоты генератора). Отсюда нетрудно определить декремент затухания $\gamma = \frac{\omega_0}{2Q}$,

3. с помощью среза АЧХ на уровне 0.7 от максимальной амплитуды, тогда «дисперсия» ($\Delta\Omega$) будет численно равна коэффициенту γ , то есть $Q = \frac{\nu_0}{2\Delta\Omega}$.

4. с помощью нарастания амплитуд в вынужденных колебаниях:

$$Q = \frac{\omega_0 n}{2 \ln \frac{U_0 - U_k}{U_0 - U_{k+n}}}. \quad (16)$$

В ходе вычислений погрешностей в основном использовалась классическая модель погрешности:

$$\sigma = \sqrt{(\sigma_{\text{случ}})^2 + (\sigma_{\text{систем}})^2}.$$

Для обычных математических операций использовалась модель о сумме квадратов относительных погрешностей величин, входящих в формулу:

$$\varepsilon = \sqrt{\varepsilon_1^2 + \varepsilon_2^2}.$$

Для обработки случайных погрешностей при повторных измерениях использовалась следующая модель:

$$\sigma = \frac{1}{\sqrt{n}} \cdot \sqrt{\sum_i (x_i - x_{\text{ср}})^2}.$$

Погрешность при линеаризации (МНК):

$$\sigma_k = \sqrt{\frac{1}{n-2} \left(\frac{\langle y \rangle^2}{\langle x \rangle^2} - k^2 \right)}$$

3. Ход работы

3.1. Измерение периодов свободных колебаний

Соберем установку с рисунка 1, выставим $R = 0$ Ом, $L = 100$ мГн, $C = 0$ нФ, однако контур сам по себе обладает некоторым C_0 , благодаря которому в контуре реализуются свободные колебания

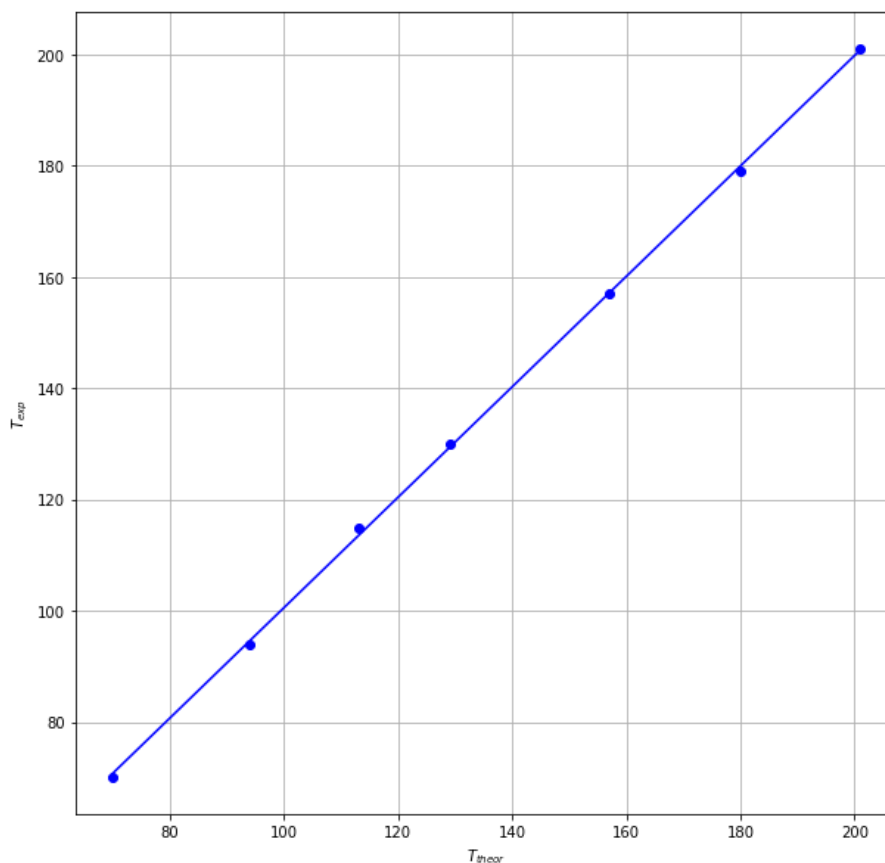
Измерим с помощью осциллографа период затухающих колебаний $T = 70$ мкс, по периоду колебаний вычисляем значение емкости C_0 , по формуле

$$C_0 = \frac{T^2}{4\pi^2 L} = 1,24 \text{ нФ}$$

Изменяя емкость C проведем измерения 7 периодов

C , нФ	1.24	2.24	3.24	4.24	6.24	8.24	10.24
T , мкс	70	94	115	130	157	179	201
T_{theor} , мкс	70	94	113	129	157	180	201

Построим график $T_{exp} = f(T_{theor})$



Погрешность $\sigma_x = 0.1$.

экспериментальная $\sigma_T = T \sqrt{\left(\frac{\sigma_x}{x}\right)^2} = 2$ мкс

$T = 2\pi\sqrt{LC}$, где $L = 200$ мГн, $\sigma_L = 10$ мГн

теоретическая $\sigma_T = \frac{1}{2} \frac{\sigma_L}{L} = 2.5$ мкс

Из графика видно, что результаты совпали, общая погрешность 1%.

3.2. Критическое сопротивление и декремент затухания

Рассчитаем C , при котором собственная частота колебаний $\nu = 1/(2\pi\sqrt{LC}) = 6500$ Гц, $C = 6$ нф. Для выбранных L и $C^* = (C+1.24)$ нф рассчитаем критическое сопротивление контура по формуле $R_{cr} = 2\sqrt{L/C^*}$ $R_{cr} = 7433$ Ом.

Установим на магазине емкость, близкую к рассчитанной увеличивая сопротивление до критической, наблюдаем картину затухающих колебаний. Измеренное с помощью измерителя LCR R_L на частотах 50–1500 Гц сохранялось в пределах приборной погрешности и составило 18.5 – 19.5 Ом $L = 50.0$ мГн, далее пренебрегаем. Изменяя сопротивление в диапазоне 400-2050 Ом запишем зависимость логарифмического декремента, рассчитанного по (11), от сопротивления.

R, Ом	406	730	1100	1370	1720
U_1, mV	790	668	552	472	396
U_2	556	360	228	168	108
U_3	376	200	108	64	—
U_4	268	116	52	—	—
θ	0.36	0.58	0.79	1.00	1.30

Построим график $1/\theta^2 = f[1/R^2]$

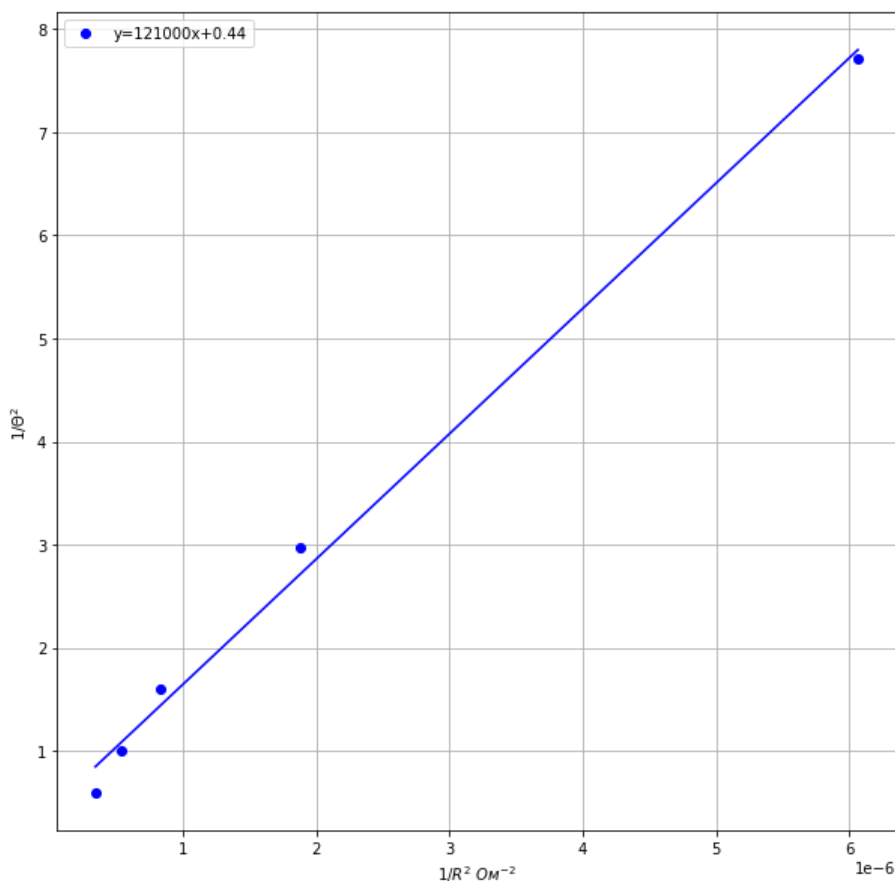


Рис. 2. Зависимость $1/\theta^2 = f[1/R^2]$

Коэффициент наклона $k = 1215000 \pm 5000 \text{ Ом}^{-2}$ Зная коэффициент наклона, найдем R_{cr} , по формуле $R_{cr} = 2\pi\sqrt{K} = 6900 \pm 200$ Ом, что близко с теоретическим значением $R_{cr} = 7433$ Ом Погрешности амплитуд $\sigma_{U_k} = \sigma_{U_{k+n}} = 0,1$, т.е.

$$\sigma_{\Theta} = \Theta \sqrt{\left(\frac{\sigma_{U_k}}{U_k}\right)^2 + \left(\frac{\sigma_{U_{k+n}}}{U_{k+n}}\right)^2} = 0.1 \quad (17)$$

$$\sigma_{\frac{1}{\Theta^2}} = 2 \frac{1}{\Theta^2} \frac{\sigma_{\Theta}}{\Theta} = 0.6 \quad (18)$$

3.3. Свободное колебание на фазовой плоскости

Проведем аналогичные измерение, но уже на фазовой плоскости и запишем результату в таблицу.

R, Ом	400	730	1100	1370
U_1, mV	800	640	540	430
U_2	560	360	255	160
U_3	380	200	—	—
U_4	250	—	—	—
θ	0.39	0.58	0.75	0.99

Расчитаем добротность для максимального и минимального значения θ и теоретическое с теми же параметрами.

- Вычисление добротности контура по $Q = \pi/\theta$ по секции 3.2 $\sigma_Q = Q \frac{\sigma_{\Theta}}{\Theta}$:

$$Q(\theta_{min}) = 8.7 \pm 0.9 \quad Q(\theta_{max}) = 3.14 \pm 0.3$$

- Вычисление добротности контура по секции 3.3:

$$Q(\theta_{min}) = 8.26 \pm 0.8 \quad Q(\theta_{max}) = 3.17 \pm 0.3$$

- Вычисление добротности контура теоретически $Q = \frac{1}{R} \sqrt{\frac{L}{C}}$ в случае слаб затухания $\sigma_Q = Q \frac{1}{2} \frac{\sigma_L}{L}$:

$$Q(\theta_{min}) = 9.16 \pm 0.2 \quad Q(\theta_{max}) = 2.71 \pm 0.07$$

3.4. Исследование резонансных кривых

Изменяя частоту генератора вблизи резонансной частоты, находим резонансную частоту $\nu = 6420$ Гц и ее амплитуду $2U_{res} = 22.2$ В.

Снимем АЧХ вблизи резонанса R=400 Ом

$\nu, \text{Гц}$	5700	5790	5880	5970	6060	6150	6240	6330	6420
$2U, \text{В}$	8.8	10.2	11.2	13.7	15.6	17.8	20.0	21.7	22.2
$\Delta x, \text{мкс}$	72.8	68.8	66	62.4	58.8	53.6	48.4	42	35.6
$\nu, \text{Гц}$	6420	6660	6750	6840	6930	7020	7160	7320	7490
$2U, \text{В}$	8.8	10.2	11.2	13.7	15.6	17.8	20.0	21.7	22.2
$\Delta x, \text{мкс}$	35.6	21.2	18	14.4	12.4	11.2	9.2	8.4	6

R = 1370 Ом

$\nu, \text{Гц}$	6420	6660	6750	6840	7020	7320	7490	5700	5880	6060	6240
$2U, \text{В}$	7.88	7.84	7.80	7.76	7.52	7.04	6.84	5.84	6.52	7.00	7.52
$\Delta x, \text{мкс}$	32	25	23	21	19	15	12	51	45	41	35

Построим АЧХ $U/U_{res} = f(\nu/\nu_{res})$

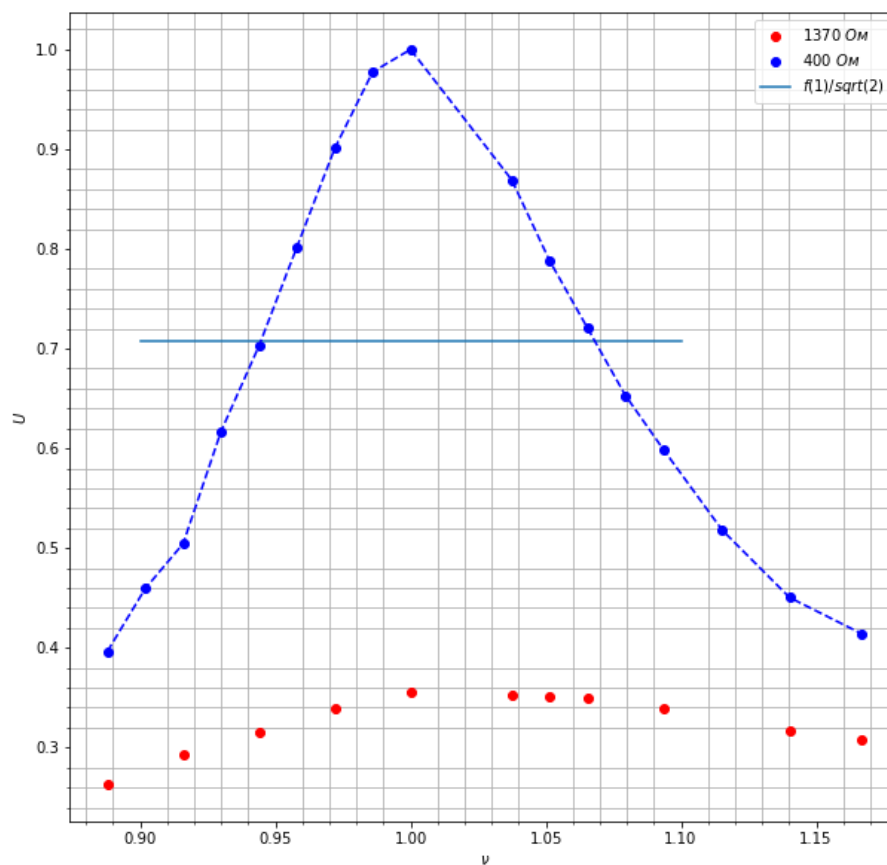


Рис. 3. Зависимость $U/U_0 = f(\nu/\nu_0)$

Рассчитаем добротность по формуле $Q = 1/2\Delta\Omega = 1/1.25 = 8.00 \pm 0.09$ ФЧХ

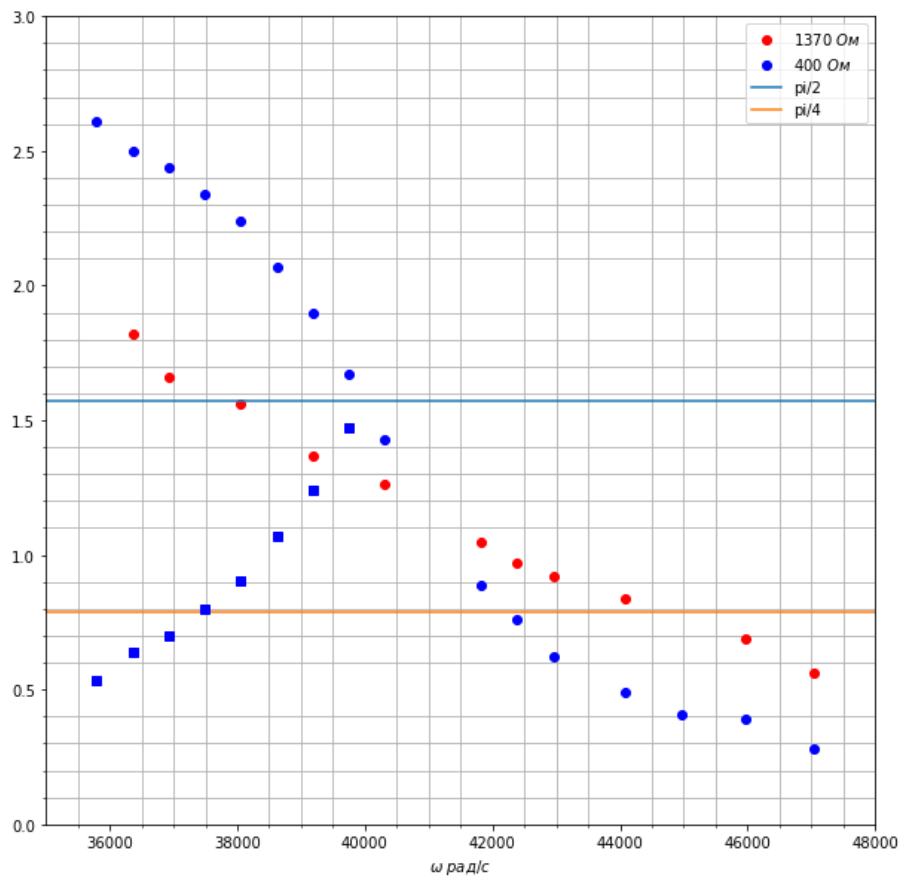


Рис. 4. Зависимость разности фаз от циклической частоты сигнала (ФЧХ)

$$Q = \frac{\omega_0}{\Delta\omega} = \frac{6420}{5000 * 0.159} = 8.07 \quad (19)$$

Рассчитаем добротность контура по скорости нарастания и затухания колебаний.

затухание	R=400, Ом	1370	нарастание	400	1370
U_1, V	7.9	0.724	U_{-1}	10.5	0.744
U_2	5.4	0.244	U_{-2}	10.1	0.700
U_3	3.9	0.08	U_{-3}	9.6	0.544
U_4	2.8	—	U_{-4}	8.8	0.200
U_0	11.2	0.784	U_{-5}	7.8	
θ	0.31	1.23		0.39	0.89

$$\Theta = \frac{1}{n} \ln \frac{U_0 - U_k}{U_0 - U_{k+n}} \quad (20)$$

4. Вывод

1. С учетом емкости системы, значения периодов эксперимента идеально совпали с теоретическими значениями периодов.
2. Удалось снять зависимость логарифмического декремента затухания от активного сопротивления цепи (погрешность составила порядка 3%)

3. Определили критическое сопротивление, при котором характер колебаний меняется на апериодический, тремя способами: теоретическим $R = 7.433 \text{ кОм}$, по наклону графика зависимости логарифмического декремента затухания от сопротивления цепи $R_{кр} = 6.9 \pm 0,2 \text{ кОм}$, с помощью наблюдением за картиной колебаний $R_{кр} = 6 \text{ кОм}$.
4. Результаты расчетов добротности сведены в таблицу:

R, Ом	Свободные колебания			Вынужденные колебания			
	f(LCR)	f(ν)	Спираль	АЧХ	ФЧХ	Нарастание	Затухание
400	9.16	8.7	8.26	8.0 ± 0.09	8.07 ± 0.09	10.1 ± 0.15	8.1 ± 0.3
1370	2.71	3.14	3.17	-	-	2.55 ± 0.2	3.5 ± 1